



Московский государственный университет имени М. В. Ломоносова  
Факультет вычислительной математики и кибернетики

# Отчёт по суперкомпьютерному моделированию

## ЗАДАНИЕ №2

Выполнила:  
студентка 611 группы  
Макарова Алёна

Москва, 2016

# 1 Математическая постановка задачи

В прямоугольной области:

$$\Pi = [A_1, A_2] \times [B_1, B_2]$$

требуется найти дважды гладкую функцию  $u = u(x, y)$ , удовлетворяющую дифференциальному уравнению:

$$-\Delta u = F(x, y), \quad A_1 < x < A_2, \quad B_1 < y < B_2 \quad (1)$$

и дополнительному условию

$$u(x, y) = \phi(x, y) \quad (2)$$

во всех граничных точках  $(x, y)$  прямоугольника  $\Pi$ .

## 2 Численный метод для решения задачи

Для решения задачи используется разностная схема.

В расчетной области  $\Pi$  определяется прямоугольная сетка

$$\omega_h = (x_i, y_j), i = 0, 1, \dots, N_1, j = 0, 1, \dots, N_2, \quad (3)$$

Параметры  $N_1, N_2$  определяют размеры решетки.

Приближенным решением задачи (1), (2) называется функция  $p = p(x_i, y_j)$ , удовлетворяющая уравнениям

$$\begin{aligned} -\Delta_h p_{ij} &= F(x_i, y_j), \quad (x_i, y_j) \in \omega_h, \\ p_{ij} &= \phi(x_i, y_j), \quad (x_i, y_j) \in \gamma_h \end{aligned} \quad (4)$$

Эти соотношения представляют собой систему линейных алгебраических уравнений с числом уравнений равным числу неизвестных и определяют единственным образом неизвестные значения  $p_{ij}$ . Совокупность уравнений (4) называется разностной схемой для задачи (1), (2).

Приближенное решение этой системы может быть получено методом скорейшего спуска. Начальное приближение

$$p_{ij}^{(0)} = \phi(x_i, y_j), \quad (x_i, y_j) \in \gamma_h,$$

во внутренних узлах сетки  $p_{ij}^{(0)}$  - любые числа. Метод является одношаговым. Последующие итерации вычисляются согласно равенствам:

$$p_{ij}^{(k+1)} = p_{ij}^{(k)} - \tau_{k+1} r_{ij}^{(k)},$$

где невязка

$$\begin{aligned} r_{ij}^{(k)} &= -\Delta_h p_{ij}^{(k)} - F(x_i, y_j), \quad (x_i, y_j) \in \omega_h, \\ r_{ij}^{(k)} &= 0, \quad (x_i, y_j) \in \gamma_h. \end{aligned} \quad (5)$$

Итерационный параметр

$$\tau_{k+1} = \frac{(r^{(k)}, r^{(k)})}{(-\Delta_h r^{(k)}, r^{(k)})}$$

Известно, что с увеличением номера итерации  $k$  последовательность сеточных функций  $p^{(k)}$  сходится к точному решению  $p$  задачи (4) по норме пространства  $H$ , то есть

$$\| p - p^k \| \rightarrow +\infty, \quad k \rightarrow +\infty.$$

Существенно большей скоростью сходимости обладает метод сопряженных градиентов. Начальное приближение  $p^{(0)}$  и первая итерация  $p^{(1)}$  вычисляются так же, как и в методе скорейшего спуска. Последующие итерации осуществляются по формулам:

$$p_{ij}^{(k+1)} = p_{ij}^{(k)} - \tau_{k+1} g_{ij}^{(k)}, \quad k = 1, 2, \dots$$

Здесь

$$\tau_{k+1} = \frac{(r^{(k)}, g^{(k)})}{(-\Delta_h g^{(k)}, g^{(k)})}$$

вектор

$$\begin{aligned} g_{ij}^{(k)} &= r_{ij}^{(k)} - \alpha_k g_{ij}^{(k-1)}, \quad k = 1, 2, \dots \\ g_{ij}^{(0)} &= r_{ij}^{(0)}, \end{aligned}$$

коэффициент

$$\alpha_{k+1} = \frac{(-\Delta_h r^{(k)}, g^{(k-1)})}{(-\Delta_h g^{(k-1)}, g^{(k-1)})}.$$

Вектор невязки  $r^{(k)}$  вычисляется согласно равенствам (5). Итерационный процесс останавливается, как только

$$\| p^{(n)} - p^{(n-1)} \| < \epsilon, \quad (6)$$

где  $\epsilon$  - заранее выбранное положительное число.

### 3 Вариант

Номер варианта:  $11 \bmod 18 + 18(11 \bmod 2) = 29$

$$\begin{aligned} F(x, y) &= \frac{x^2 + y^2}{4(4 + xy)^{\frac{3}{2}}}, \quad \phi(x, y) = \sqrt{4 + xy} \\ \Pi &= [0, 4] \times [0, 4] \end{aligned}$$

Задача решается для равномерной решетки и евклидовой нормы.

### 4 Описание реализации

Задача нахождения приближённого решения реализована отдельной функцией **Iter**. Основной алгоритм:

1. Инициализация начального решения и вектора невязки;
2. Вычисление невязки;
3. Вычисление итерационных параметров;
4. Нахождение нового решения;
5. Проверка на выполнение условия останова. Если не выполнено - п.2.

Далее, программа была доработана для реализации параллельного выполнения.

## 4.1 MPI

Решётка, на которой решается задача, разбивается на прямоугольники. Каждый прямоугольник - область расчета процесса. Таким образом, каждый процесс выполняет действия с частью всей решетки. Каждый процесс вычисляет смещение, соответствующее его области в "большой" матрице.

Основным преобразованием алгоритма является организация обмена информацией между процессами, так как часть данных одного процесса используется при вычислении в другом процессе. Для этого, с помощью функции MPI\_Cart\_create, создаётся коммуникатор с декартовой топологией, для каждого процесса определяются его соседи. Каждый раз перед тем как вычислить 5-ти точечную аппроксимацию - процессы обмениваются данными со своими соседями, передавая им обновлённые данные(MPI\_Send/MPI\_Recv). Для расчета скалярного произведения используется MPI\_Reduce (сбор из всех процессов - передача всем процессам).

Процесс с номером 0 является менеджером системы. Вначале он собирает от каждого процесса их смещения и размеры области. Затем отправляет соответствующие координаты, для которых должны быть проведены расчеты. А после - агрегирует полученный результат в "большой" матрице решения.

## 4.2 OpenMP

В рамках вычислений также возможно производить независимые операции для каждого узла сетки. Основные используемые возможности openmp: распараллеливание циклов (pragma omp for) и использование reduce для агрегации результата между нитями.

Возможность распараллеливания между нитями присутствует в следующих операциях:

1. Вычисление невязки, новой функции решения и подобные, так как вычисление каждой ячейки – это независимая операция.
2. Подготовка данных к отправке посредством MPI другим процессам, и обработка принятых данных)
3. Вычисление 5-ти точечной аппроксимации (аналогично п.1)
4. Вычисление скалярного произведения (aggregate sum)

## 5 Результаты расчетов

Исследование проводилось на суперкомпьютерах:

1. "Ломоносов"
2. IBM Blue Gene/P

Для сетки 1000x1000 программа совершает 1513 итераций.  
Для сетки 2000x2000 программа совершает 2831 итерацию.

ПВС	Число процессоров	Размерность сетки	Время (с)	Ускорение
Lomonosov	1	1000 × 1000	477.30	1
	8	1000 × 1000	60.76	7.85
	16	1000 × 1000	30.23	15.79
	32	1000 × 1000	15.20	31.4
	128	1000 × 1000	4.35	109.72
Lomonosov	1	2000 × 2000	timeout	-
	8	2000 × 2000	453.64	1
	16	2000 × 2000	227.58	1.99
	32	2000 × 2000	114.40	3.97
	128	2000 × 2000	29.40	15.43
BlueGene(MPI)	1	1000 × 1000	1644.20	1
	128	1000 × 1000	67.74	24.27
	256	1000 × 1000	34.39	47.80
	512	1000 × 1000	19.29	85.23
BlueGene(MPI)	1	2000 × 2000	timeout	-
	128	2000 × 2000	496.15	1
	256	2000 × 2000	249.77	1.98
	512	2000 × 2000	129.40	3.83
BlueGene(OpenMP/MPI)	1	1000 × 1000	1317.3	1
	128	1000 × 1000	26.16	50.4
	256	1000 × 1000	17.85	73.8
	512	1000 × 1000	12.48	105.55
BlueGene(OpenMP/MPI)	1	2000 × 2000	timeout	-
	128	2000 × 2000	166.21	1
	256	2000 × 2000	91.91	1.8
	512	2000 × 2000	60.36	2.75

## 6 Графики приближенного решения и точного решения

На этом графике оба решения - точное и приближённое. Для того чтобы показать их различие, я приведу график разности.

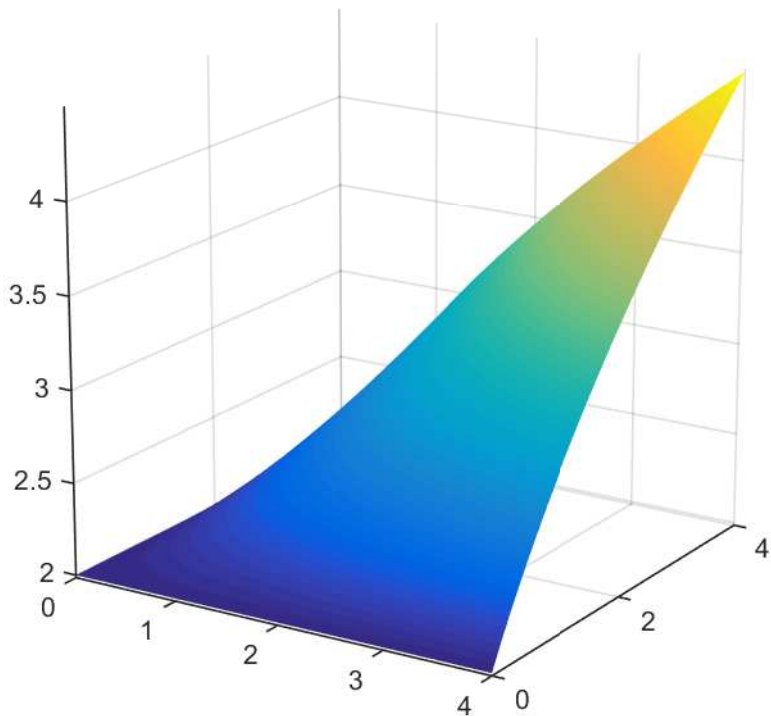


Рис. 1: Решение

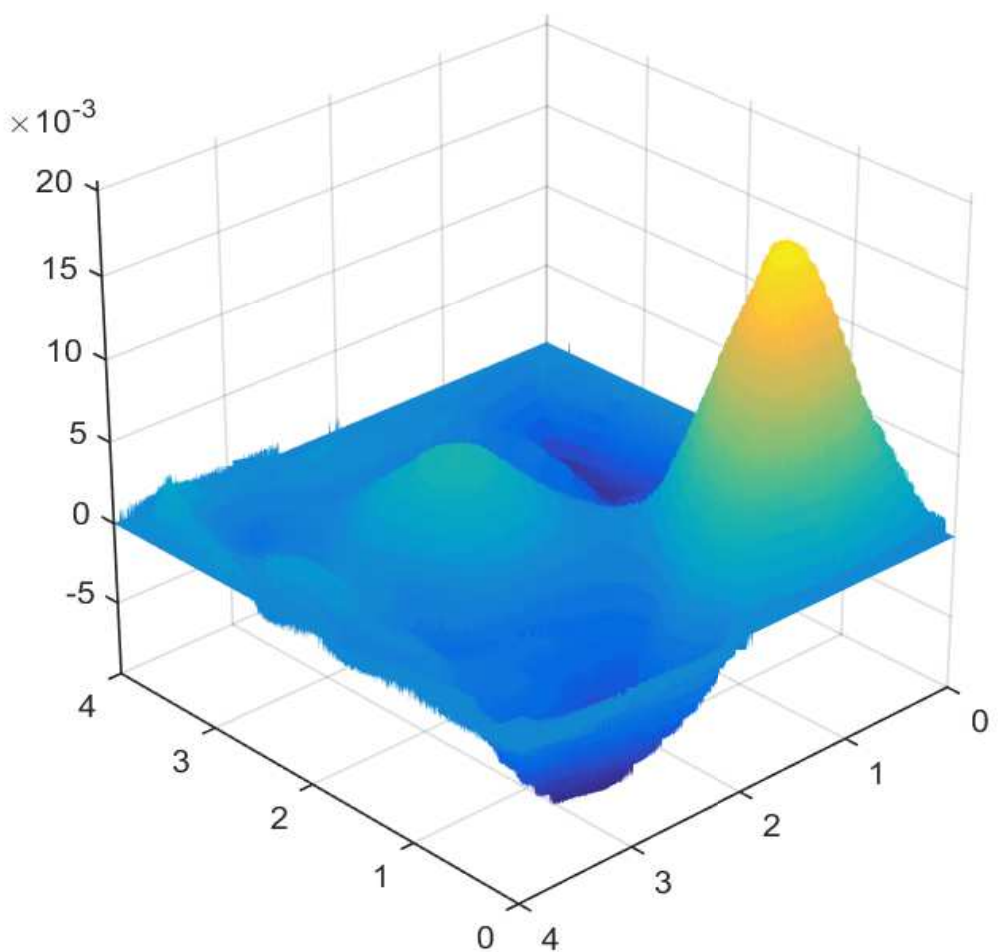


Рис. 2: Разность точного и аналитического решения